

# Starkniederschlagshöhen und -spenden gemäß KOSTRA-DWD-2020

## Rasterfeld 174168

(Zeile 174, Spalte 168)

### Regenspende und Bemessungsniederschlagswerte in Abhängigkeit von Wiederkehrzeit T und Dauerstufe D

| Dauerstufe D |     | Wiederkehrzeit T |            |      |            |      |            |      |            |       |            |       |            |       |            |       |            |       |            |
|--------------|-----|------------------|------------|------|------------|------|------------|------|------------|-------|------------|-------|------------|-------|------------|-------|------------|-------|------------|
|              |     | 1 a              |            | 2 a  |            | 3 a  |            | 5 a  |            | 10 a  |            | 20 a  |            | 30 a  |            | 50 a  |            | 100 a |            |
| min          | Std | mm               | l / (s ha) | mm   | l / (s ha) | mm   | l / (s ha) | mm   | l / (s ha) | mm    | l / (s ha) | mm    | l / (s ha) | mm    | l / (s ha) | mm    | l / (s ha) | mm    | l / (s ha) |
| 5            |     | 7,8              | 260,0      | 9,5  | 316,7      | 10,5 | 350,0      | 11,9 | 396,7      | 13,9  | 463,3      | 15,9  | 530,0      | 17,3  | 576,7      | 19,0  | 633,3      | 21,6  | 720,0      |
| 10           |     | 10,0             | 166,7      | 12,1 | 201,7      | 13,5 | 225,0      | 15,3 | 255,0      | 17,8  | 296,7      | 20,5  | 341,7      | 22,2  | 370,0      | 24,4  | 406,7      | 27,7  | 461,7      |
| 15           |     | 11,3             | 125,6      | 13,8 | 153,3      | 15,4 | 171,1      | 17,4 | 193,3      | 20,3  | 225,6      | 23,3  | 258,9      | 25,2  | 280,0      | 27,8  | 308,9      | 31,5  | 350,0      |
| 20           |     | 12,4             | 103,3      | 15,1 | 125,8      | 16,7 | 139,2      | 18,9 | 157,5      | 22,1  | 184,2      | 25,4  | 211,7      | 27,5  | 229,2      | 30,3  | 252,5      | 34,3  | 285,8      |
| 30           |     | 13,9             | 77,2       | 16,9 | 93,9       | 18,8 | 104,4      | 21,3 | 118,3      | 24,8  | 137,8      | 28,5  | 158,3      | 30,9  | 171,7      | 34,1  | 189,4      | 38,6  | 214,4      |
| 45           |     | 15,5             | 57,4       | 18,9 | 70,0       | 21,0 | 77,8       | 23,8 | 88,1       | 27,8  | 103,0      | 31,9  | 118,1      | 34,6  | 128,1      | 38,1  | 141,1      | 43,1  | 159,6      |
| 60           | 1   | 16,8             | 46,7       | 20,4 | 56,7       | 22,7 | 63,1       | 25,7 | 71,4       | 30,0  | 83,3       | 34,4  | 95,6       | 37,3  | 103,6      | 41,1  | 114,2      | 46,6  | 129,4      |
| 90           | 1,5 | 18,7             | 34,6       | 22,7 | 42,0       | 25,3 | 46,9       | 28,6 | 53,0       | 33,4  | 61,9       | 38,3  | 70,9       | 41,5  | 76,9       | 45,8  | 84,8       | 51,8  | 95,9       |
| 120          | 2   | 20,1             | 27,9       | 24,5 | 34,0       | 27,2 | 37,8       | 30,8 | 42,8       | 36,0  | 50,0       | 41,3  | 57,4       | 44,7  | 62,1       | 49,3  | 68,5       | 55,8  | 77,5       |
| 180          | 3   | 22,3             | 20,6       | 27,2 | 25,2       | 30,2 | 28,0       | 34,2 | 31,7       | 39,9  | 36,9       | 45,8  | 42,4       | 49,7  | 46,0       | 54,7  | 50,6       | 62,0  | 57,4       |
| 240          | 4   | 24,0             | 16,7       | 29,3 | 20,3       | 32,5 | 22,6       | 36,8 | 25,6       | 42,9  | 29,8       | 49,3  | 34,2       | 53,4  | 37,1       | 58,9  | 40,9       | 66,7  | 46,3       |
| 360          | 6   | 26,6             | 12,3       | 32,4 | 15,0       | 36,0 | 16,7       | 40,8 | 18,9       | 47,6  | 22,0       | 54,6  | 25,3       | 59,2  | 27,4       | 65,3  | 30,2       | 73,9  | 34,2       |
| 540          | 9   | 29,5             | 9,1        | 35,9 | 11,1       | 39,9 | 12,3       | 45,2 | 14,0       | 52,7  | 16,3       | 60,5  | 18,7       | 65,6  | 20,2       | 72,3  | 22,3       | 81,9  | 25,3       |
| 720          | 12  | 31,7             | 7,3        | 38,6 | 8,9        | 42,9 | 9,9        | 48,6 | 11,3       | 56,7  | 13,1       | 65,1  | 15,1       | 70,6  | 16,3       | 77,8  | 18,0       | 88,1  | 20,4       |
| 1080         | 18  | 35,1             | 5,4        | 42,8 | 6,6        | 47,6 | 7,3        | 53,8 | 8,3        | 62,8  | 9,7        | 72,1  | 11,1       | 78,2  | 12,1       | 86,1  | 13,3       | 97,6  | 15,1       |
| 1440         | 24  | 37,7             | 4,4        | 46,0 | 5,3        | 51,1 | 5,9        | 57,8 | 6,7        | 67,5  | 7,8        | 77,5  | 9,0        | 84,0  | 9,7        | 92,6  | 10,7       | 104,9 | 12,1       |
| 2880         | 48  | 44,9             | 2,6        | 54,8 | 3,2        | 60,9 | 3,5        | 68,9 | 4,0        | 80,4  | 4,7        | 92,3  | 5,3        | 100,0 | 5,8        | 110,2 | 6,4        | 124,8 | 7,2        |
| 4320         | 72  | 49,7             | 1,9        | 60,6 | 2,3        | 67,4 | 2,6        | 76,2 | 2,9        | 89,0  | 3,4        | 102,2 | 3,9        | 110,8 | 4,3        | 122,1 | 4,7        | 138,2 | 5,3        |
| 5760         | 96  | 53,5             | 1,5        | 65,2 | 1,9        | 72,4 | 2,1        | 81,9 | 2,4        | 95,7  | 2,8        | 109,8 | 3,2        | 119,1 | 3,4        | 131,2 | 3,8        | 148,6 | 4,3        |
| 7200         | 120 | 56,6             | 1,3        | 68,9 | 1,6        | 76,6 | 1,8        | 86,7 | 2,0        | 101,2 | 2,3        | 116,1 | 2,7        | 125,9 | 2,9        | 138,8 | 3,2        | 157,1 | 3,6        |
| 8640         | 144 | 59,2             | 1,1        | 72,2 | 1,4        | 80,2 | 1,5        | 90,7 | 1,7        | 105,9 | 2,0        | 121,6 | 2,3        | 131,8 | 2,5        | 145,3 | 2,8        | 164,5 | 3,2        |
| 10080        | 168 | 61,5             | 1,0        | 75,0 | 1,2        | 83,3 | 1,4        | 94,3 | 1,6        | 110,1 | 1,8        | 126,4 | 2,1        | 137,0 | 2,3        | 151,0 | 2,5        | 171,0 | 2,8        |

# Starkniederschlagshöhen und -spenden gemäß KOSTRA-DWD-2020

## Rasterfeld 174168

(Zeile 174, Spalte 168)

### Örtliche Unsicherheiten in Abhängigkeit von Wiederkehrzeit T und Dauerstufe D

| Dauerstufe D |     | Wiederkehrzeit T |     |     |     |      |      |      |      |       |
|--------------|-----|------------------|-----|-----|-----|------|------|------|------|-------|
|              |     | 1 a              | 2 a | 3 a | 5 a | 10 a | 20 a | 30 a | 50 a | 100 a |
| min          | Std | ± %              | ± % | ± % | ± % | ± %  | ± %  | ± %  | ± %  | ± %   |
| 5            |     | 14               | 15  | 16  | 16  | 17   | 17   | 18   | 18   | 19    |
| 10           |     | 18               | 19  | 20  | 20  | 21   | 22   | 22   | 23   | 23    |
| 15           |     | 20               | 21  | 22  | 22  | 23   | 24   | 25   | 25   | 25    |
| 20           |     | 21               | 22  | 23  | 24  | 24   | 25   | 26   | 26   | 27    |
| 30           |     | 21               | 23  | 24  | 24  | 25   | 26   | 27   | 27   | 27    |
| 45           |     | 21               | 23  | 24  | 25  | 26   | 26   | 27   | 27   | 28    |
| 60           | 1   | 21               | 23  | 23  | 24  | 25   | 26   | 26   | 27   | 27    |
| 90           | 1,5 | 20               | 22  | 23  | 24  | 25   | 25   | 26   | 26   | 27    |
| 120          | 2   | 20               | 21  | 22  | 23  | 24   | 25   | 25   | 25   | 26    |
| 180          | 3   | 18               | 20  | 21  | 22  | 23   | 23   | 24   | 24   | 25    |
| 240          | 4   | 17               | 19  | 20  | 21  | 22   | 23   | 23   | 23   | 24    |
| 360          | 6   | 16               | 18  | 19  | 19  | 20   | 21   | 22   | 22   | 23    |
| 540          | 9   | 15               | 17  | 17  | 18  | 19   | 20   | 20   | 21   | 21    |
| 720          | 12  | 15               | 16  | 17  | 17  | 18   | 19   | 19   | 20   | 20    |
| 1080         | 18  | 14               | 15  | 16  | 16  | 17   | 18   | 18   | 19   | 19    |
| 1440         | 24  | 14               | 15  | 15  | 16  | 17   | 17   | 18   | 18   | 19    |
| 2880         | 48  | 13               | 14  | 14  | 15  | 16   | 16   | 16   | 17   | 17    |
| 4320         | 72  | 14               | 14  | 14  | 15  | 15   | 16   | 16   | 16   | 17    |
| 5760         | 96  | 14               | 14  | 14  | 15  | 15   | 16   | 16   | 16   | 17    |
| 7200         | 120 | 14               | 15  | 15  | 15  | 15   | 16   | 16   | 16   | 17    |
| 8640         | 144 | 15               | 15  | 15  | 15  | 16   | 16   | 16   | 16   | 17    |
| 10080        | 168 | 15               | 15  | 15  | 15  | 16   | 16   | 16   | 16   | 17    |

### Parameter für abweichende T und D

#### Lokationsparameter $\xi$ (Xi)

17,02777347

#### Skalenparameter $\alpha$ (Alpha)

5,17957168

#### Formparameter $\kappa$ (Kappa)

-0,1

#### 1. Koutsoyiannis-Parameter $\theta$ (Theta)

0,0201471

#### 2. Koutsoyiannis-Parameter $\eta$ (Eta)

0,7491028

Parameter für dauerstufenübergreifende Extremwertschätzung nach KOUTSOYIANNIS et al. 1998.

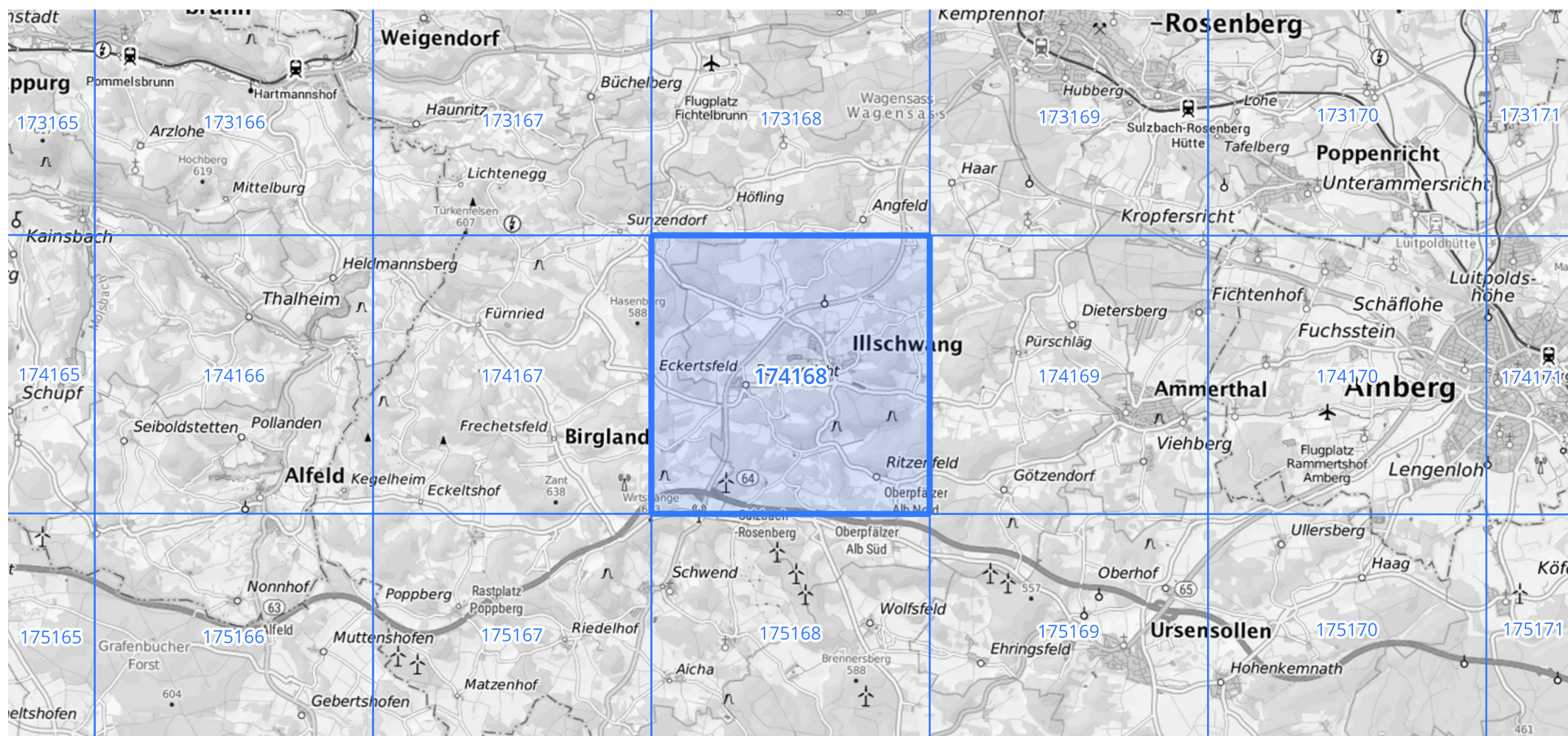
Siehe auch Anwendungshilfe zu KOSTRA-DWD-2020 des Deutschen Wetterdienstes.

# Starkniederschlagshöhen und -spenden gemäß KOSTRA-DWD-2020

## Rasterfeld 174168

(Zeile 174, Spalte 168)

Übersichtskarte des Rasterfeldes 174168, M 1 : 100 000



Quelle Rasterdaten: KOSTRA-DWD-2020 des Deutschen Wetterdienstes, Stand 12/2022.

Seite 3 von 3

Kartendarstellung: © Bundesamt für Kartographie und Geodäsie (2023), Datenquellen: [https://sgx.geodatenzentrum.de/web\\_public/gdz/datenquellen/Datenquellen\\_TopPlusOpen.html](https://sgx.geodatenzentrum.de/web_public/gdz/datenquellen/Datenquellen_TopPlusOpen.html)

Für die Richtigkeit und Aktualität der Angaben wird keine Gewähr übernommen. Erstellt 01/2023.